

УДК 629.7.02.015.4:519.61(06)

Ю.В. ЛИПОВЦЕВ<sup>1</sup>, М.Ю. РУСИН<sup>2</sup>, А.С. ХАМИЦАЕВ<sup>2</sup>, В.М. ЮДИН<sup>3</sup><sup>1</sup>Обнинский государственный технический университет атомной энергетики, Россия<sup>2</sup>Обнинское научно-производственное предприятие «Технология», Россия<sup>3</sup>Центральный аэрогидродинамический институт, Жуковский, Россия

## К ВОПРОСУ РАСЧЕТА ПАРАМЕТРОВ ПОТОКА, НАПРЯЖЕННОГО СОСТОЯНИЯ И УСТОЙЧИВОСТИ ГОЛОВНЫХ ОБТЕКАТЕЛЕЙ ЛЕТАТЕЛЬНЫХ АППАРАТОВ В УСЛОВИЯХ ПОЛЕТА ПО ЗАДАНЫМ ТРАЕКТОРИЯМ

Предложены методы и алгоритмы расчета параметров основных параметров аэродинамического потока, напряженно-деформированного состояния и устойчивости оболочек вращения головных обтекателей летательных аппаратов при полете по заданной траектории. Рассмотрены основные функции соответствующего программного комплекса.

**аэродинамический поток, напряженно-деформированное состояние, ортотропные оболочки вращения**

### Введение

В практике теоретического анализа работоспособности конструкции летательных аппаратов (ЛА) важное значение имеет расчет по заданной траектории параметров аэродинамического потока, напряженно-деформированного состояния (НДС) и устойчивости оболочек вращения, например, головных обтекателей.

Тонкостенная оболочка вращения обтекателя может иметь произвольную форму с переменной по длине толщиной стенки и выполненной из ортотропного материала с заданными модулями упругости по меридиану и окружности и модулем сдвига в плоскости ортотропии.

При выполнении расчетов по разработанной Фортран-программе в качестве исходных данных вводятся:

- форма оболочки и основные ее габаритные размеры, при этом форма оболочки задается в виде таблицы координат ее образующей, а в процессе расчета уравнение образующей по заданной таблице аппроксимируется кубическими сплайнами;
- таблица изменения толщины стенки по длине образующей;

- механические характеристики материала оболочки: модули упругости  $E_1$ ,  $E_2$ , модуль сдвига в плоскости ортотропии  $G_{12}$ , коэффициенты Пуассона;

- теплофизические свойства материала оболочки:  $\lambda$ ,  $c$ ,  $\rho$ ,  $\alpha$  – теплопроводность, теплоемкость, плотность и коэффициент температурного расширения (КТР);

- параметры траектории полета в виде таблицы значений высоты, скорости полета и угла атаки в заданные моменты времени.

Все исходные данные к расчетам подготавливаются в виде внешних файлов, а разработанная Фортран-программа оформлена в виде отдельного исполнительного модуля. Если исполнительный модуль программы и файлы исходных данных записать на компакт-диск или обычную дискету, то расчет можно выполнить на любом компьютере, не содержащем компилятора Фортрана. При этом программу можно запустить прямо с компакт-диска без записи ее в компьютер.

В целом математическое обеспечение состоит из методов и алгоритмов расчета всех отмеченных здесь параметров потока, НДС и устойчивости орто-

тропных оболочек вращения с переменной толщиной стенки и Фортран-программы расчета. Три основных блока программы (ПОЛЕТ, НДС и УСТОЙЧИВОСТЬ) выполняются в цикле по времени для заданной траектории полета с выдачей результатов расчета в заданные моменты времени. По отдельным видам расчета представленные здесь алгоритмы использовались в работах [1 – 6].

## 1. Основные функции программного комплекса

### 1.1. Расчет параметров аэродинамического потока

В процессе последовательного выполнения расчета по всем заданным точкам на траектории с заданным шагом по времени проводится непрерывная кусочно-линейная интерполяция заданных параметров траектории. В первую очередь в блоке программы ПОЛЕТ для каждого заданного момента времени вычисляются параметры аэродинамического потока. Основными подпрограммами данного блока являются:

- подпрограмма стандартной атмосферы;
- подпрограмма расчета внешнего давления потока;
- подпрограмма расчета параметров теплообмена на поверхности оболочки.

Расчет параметров атмосферы проводится в соответствии с ГОСТом в диапазоне высот до 81020 м. Входной параметр подпрограммы – высота  $H$ , выходные параметры – скорость звука, ускорение свободного падения, давление, температура и плотность воздуха.

При использовании метода местных касательных конусов вычисляется внешнее давление воздушного потока в заданных точках поверхности при заданных параметрах невозмущенного потока. В диапазоне изменения скорости полета до 10М и местных углах атаки до 400 погрешность вычисления внешнего давления потока не превышает 5%.

Коэффициенты теплопередачи, напряжения трения и энтальпия восстановления в пограничном слое оболочек вращения определяются по формулам для касательных конусов, в которых за параметры газового потока на бесконечности принимаются их значения на внешней границе пограничного слоя, а за координату точки – расстояние по меридиану от вершины оболочки. При этом учитывается возможность существования ламинарного, турбулентного и переходного течения в пограничном слое. Характер течения может быть задан, а по умолчанию определяется автоматически по параметрам потока.

Все параметры аэродинамического потока вычисляются с шагом 4,50 по окружности и с заданным шагом по длине оболочки. Детальная информация по угловой координате позволяет получить с большой точностью внешнее давление в виде ряда Фурье и представить его в виде

$$P(z, \varphi) = \sum_{k=0}^n P_k(z) \cos k\varphi, \quad (1)$$

где начало отсчета окружной координаты  $\varphi$  находится в плоскости угла атаки.

К числу выходных параметров подпрограммы ПОЛЕТ относятся таблицы функций  $P_0(z), P_1(z), \dots, P_n(z)$ , которые используются далее при расчете основного НДС оболочки.

### 1.2. Расчет погонных нагрузок, поперечных сил, изгибающих моментов и напряжений

В рамках данной программы для исследования устойчивости основной геометрической формы оболочки необходимы меридиональные  $T_m$ , окружные  $T_\varphi$  и касательные внутренние силы  $S$ , которые определяются по теории безмоментных оболочек. Согласно расчетным формулам, полученным в работе [1], их можно выразить через осевую силу  $N(z)$ , поперечную (перерезывающую)  $Q(z)$  и изгибающий момент  $M(z)$ :

$$T_m(z, \varphi) = \frac{N(z)}{2\pi \cdot r \cos \beta} + \frac{M(z)}{\pi \cdot r^2 \cos \beta} \cos \varphi;$$

$$T_{\varphi}(z, \varphi) = -P \cdot R_2 - \frac{R_2}{R_1} T_m; \quad (2)$$

$$S(z, \varphi) = \left( \frac{Q(z)}{\pi \cdot r} - \frac{M(z) \operatorname{ctg} \beta}{\pi \cdot r^2} \right) \sin \varphi.$$

На рис. 1 показана часть оболочки вращения, выделенная окружным сечением с текущей координатой  $z$ , внутренние силы  $N(z)$ ,  $Q(z)$  и изгибающий момент  $M(z)$ , а также силы внешнего давления аэродинамического потока  $P(z, \varphi)$ , непрерывно распределенные по всей поверхности оболочки.

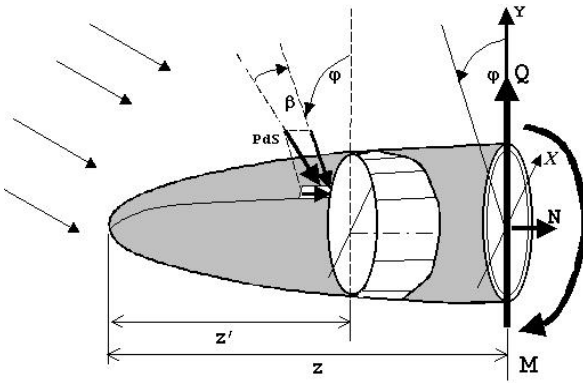


Рис. 1. Часть оболочки вращения

В подынтегральные выражения уравнений равновесия выделенной части оболочки входит  $\cos \varphi$ :

$$N(z) = - \iint_{S(z)} P(z', \varphi) \sin \beta \, dS;$$

$$Q(z) = \iint_{S(z)} P(z', \varphi) \cos \varphi \cos \beta \, dS;$$

$$M(z) = - \iint_{S(z)} P(z', \varphi) \sin \beta \cdot r(z') \cos \varphi \, dS +$$

$$+ \iint_{S(z)} P(z', \varphi) \cos \varphi \cos \beta \cdot (z - z') \, dS,$$

где  $z$  – координата сечения;  $z'$  – переменная интегрирования от 0 до  $z$ ;  $\beta$  – угол между нормалью к поверхности и плоскостью параллельного круга;  $dS$  – площадь элемента поверхности.

Из этого следует, что обобщенные силы  $N(z)$ ,  $Q(z)$ ,  $M(z)$  зависят только от первых двух коэффициентов  $P_0(z)$  и  $P_1(z)$  разложения внешнего давления в ряд Фурье (1) и определяются следующими интегралами:

$$N(z) = - \int_0^z r(z') dz' \int_0^{2\pi} P_0(z') \frac{dr}{dz} d\varphi =$$

$$= -2\pi \int_0^z P_0(z') r(z') \frac{dr}{dz} dz'; \quad (3)$$

$$Q(z) = \int_0^z r(z') dz' \int_0^{2\pi} P_1(z') \cos \varphi \cos \varphi d\varphi =$$

$$= \pi \int_0^z P_1(z') r(z') dz'; \quad (4)$$

$$M(z) = -\pi \int_0^z r^2(z') \frac{dr}{dz} P_1(z') dz' +$$

$$+ \pi \int_0^z (z - z') r(z') P_1(z') dz', \quad (5)$$

где  $r(z)$  – радиус параллельного круга;  $P_0(z)$ ,  $P_1(z)$  – первые коэффициенты разложения внешнего давления в ряд Фурье (1), а поверхностные интегралы от всех остальных слагаемых равны нулю.

Соотношения (3) – (5) позволяют также получить расчетные формулы для погонных нагрузок (рис. 1): осевых и поперечных сил  $q_z$ ,  $q_y$  и внешних изгибающих моментов  $m(z)$ , приходящиеся на единицу длины оболочки:

$$q_y = -\pi P_1(z) r(z); \quad q_z = 2\pi P_0(z) r(z) \frac{dr}{dz};$$

$$m = -\pi r^2 \frac{dr}{dz} P_1(z).$$

Относительно поставленных знаков необходимо отметить, что в соответствии с рис. 1 положительными считаются силы  $q_y$ , направленные вверх, а изгибающие моменты  $m$  направлены по часовой стрелке.

### 1.3. Расчет на устойчивость исходной осесимметричной формы равновесия

Процедуры вычисления внутренних сил основного напряженного состояния реализованы по расчетным формулам (2) – (5), а в уравнения устойчивости внутренние силы основного состояния подставляются в следующем виде:

$$T_m^0 = \sigma T_m(z, \varphi); \quad T_{\varphi}^0 = \sigma T_{\varphi}(z, \varphi); \quad S^0 = \sigma S(z, \varphi),$$

где  $T_m$ ,  $T_\varphi$ ,  $S$  – силы при найденном распределении внешнего давления в заданный момент времени.

При исследовании устойчивости параметр  $\sigma$  изменяется от нуля до критического значения  $\sigma = \sigma_{кр}$ , при котором однородные дифференциальные уравнения устойчивости с однородными граничными условиями имеют ненулевые решения. Если найденное  $\sigma_{кр} > 1$ , то потери устойчивости при данном напряженном состоянии не происходит и  $\sigma_{кр} > 1$  является коэффициентом запаса по устойчивости. Если найденное  $\sigma_{кр} < 1$ , то при данном напряженном состоянии происходит потеря устойчивости.

В результате расчета на устойчивость определяются значения параметра  $\sigma_{кр}$ , размеры вмятин по окружности и функция изменения прогибов  $w(z)$  оболочки по длине при переходе в смежные состояния равновесия.

В настоящее время мы провели достаточно много расчетов для обтекателей с оболочками из стеклопластиков, и все они неизменно показывают, что в условиях полета преобладающее действие при потере устойчивости оказывают окружные напряжения докритического состояния, как при нулевом, так и при ненулевых углах атаки.

В качестве иллюстрации на рис. 2 показаны результаты четырех расчетных случаев: два с нулевым углом атаки и два случая с углом атаки  $8^\circ$ . При нулевом угле атаки напряженное состояние осесимметричное и потеря устойчивости происходит с образованием вмятин, равномерно распределенных по всей окружности.

В случае угла атаки  $8^\circ$  меридиональные напряжения в верхней части поверхности оболочки ближе к основанию получают растягивающими, но, тем не менее, потеря устойчивости происходит с образованием вмятин в верхней части поверхности, поскольку окружные сжимающие напряжения здесь существенно увеличиваются.

Ниже представлены полученные нами уравнения устойчивости ортотропных оболочек вращения с

переменной толщиной стенки и метод их численного решения [4 – 7], реализованный с помощью разработанной Фортран-программы.

## 2. Уравнения устойчивости ортотропных оболочек вращения с переменной толщиной стенки и метод решения задач устойчивости

### 2.1. Нелинейные уравнения изгиба ортотропных оболочек вращения с переменной толщиной стенки

Принимая гипотезу плоских сечений с учетом или без учета деформаций поперечного сдвига, меридиональные, окружные и перемещения точек по нормали к срединной поверхности оболочки можно представить в виде

$$u^z = u + z\gamma_1; \quad v^z = v + z\gamma_2; \quad w^z = w, \quad (6)$$

где  $u$ ,  $v$ ,  $w$  – перемещения срединной поверхности;  $\gamma_1$ ,  $\gamma_2$  – углы поворота нормали, которые без учета деформаций поперечного сдвига можно выразить через производные от функции прогиба  $w$ , что мы сделаем несколько позже для сохранения общности основных предпосылок и получения исходных выражений для поперечных сил и изгибающих моментов. При учете деформаций поперечного сдвига углы поворота будут дополнительными искомыми функциями.

Выражения для деформаций запишем без учета величин порядка  $h/R_i$  по сравнению с единицей, где  $R_i$  – радиусы кривизны срединной поверхности оболочки:

$$\begin{aligned} \varepsilon_1^z &= \frac{\partial u^z}{\partial s} + \kappa_1 w; \\ \varepsilon_2^z &= \frac{1}{r} \frac{\partial v^z}{\partial \varphi} + \frac{1}{r} \frac{dr}{ds} u^z + \kappa_2 w; \\ \varepsilon_{12}^z &= \frac{1}{r} \frac{\partial u^z}{\partial \varphi} + \frac{\partial v^z}{\partial s} - \frac{1}{r} \frac{dr}{ds} v^z; \\ \varepsilon_{13}^z &= \frac{\partial w}{\partial s} + \frac{\partial u^z}{\partial z} - \kappa_1 u^z; \\ \varepsilon_{23}^z &= \frac{1}{r} \frac{\partial w}{\partial \varphi} + \frac{\partial v^z}{\partial z} - \kappa_2 v^z; \end{aligned} \quad (7)$$

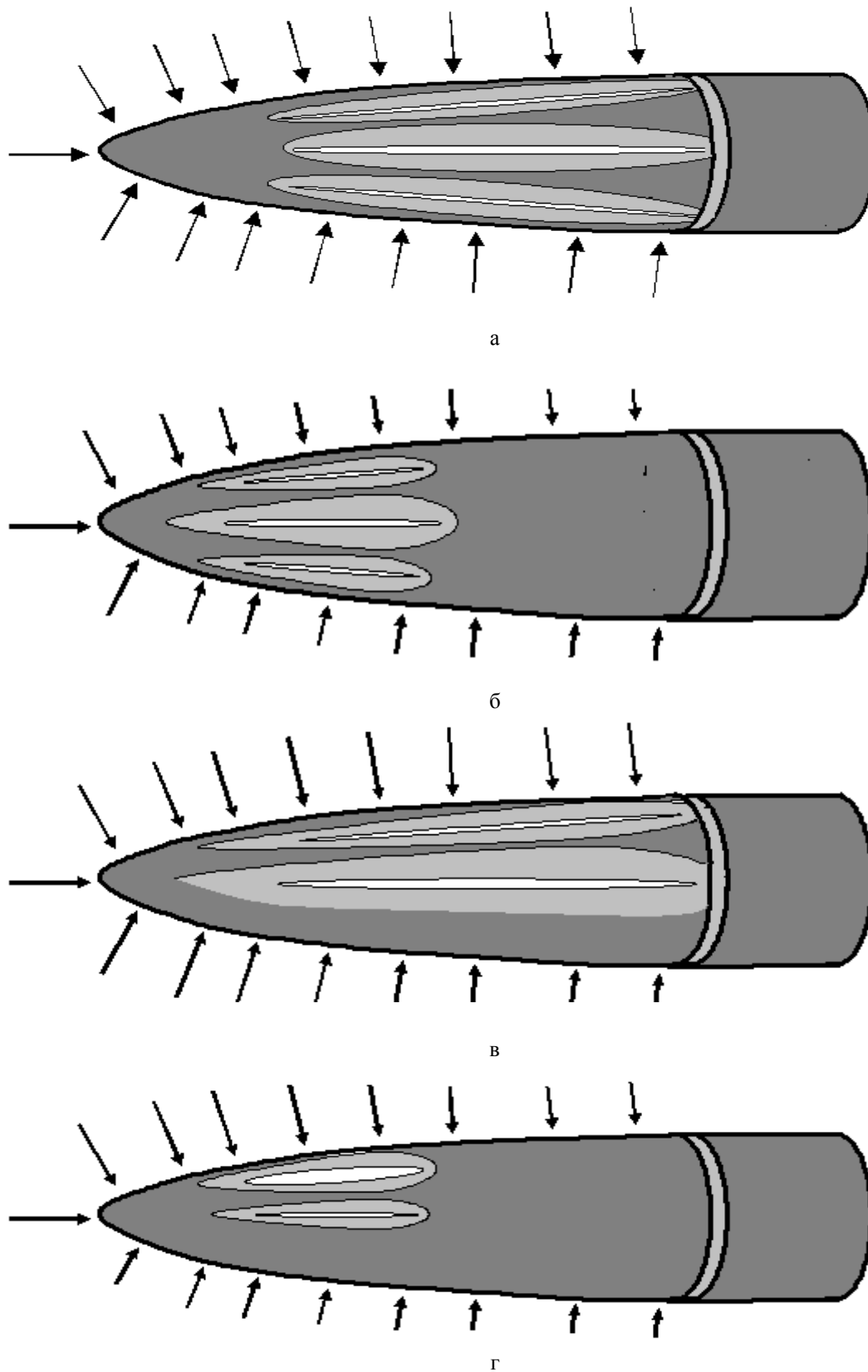


Рис. 2. Результаты расчета для обтекателя с оболочкой из стеклопластика:

а – угол атаки равен  $0^\circ$ , постоянная толщина стенки  $\sigma_{кр} = 1,57$ ;

б – угол атаки равен  $0^\circ$ , переменная толщина стенки  $\sigma_{кр} = 1,69$ ;

в – угол атаки равен  $8^\circ$ , постоянная толщина стенки  $\sigma_{кр} = 1,05$ ;

г – угол атаки равен  $8^\circ$ , переменная толщина стенки  $\sigma_{кр} = 1,16$

где  $s$  – линейная координата по меридиану;  $\varphi$  – угловая координата по окружности.

В соответствии с линейным законом (6) изменения перемещений по толщине получаем линейное распределение деформаций по координате  $z$ :

$$\begin{aligned}\bar{\varepsilon}_1^z &= \varepsilon_1 + z\kappa_{11}; & \bar{\varepsilon}_{13}^z &= \varepsilon_{13}; \\ \bar{\varepsilon}_2^z &= \varepsilon_2 + z\kappa_{22}; & \bar{\varepsilon}_{23}^z &= \varepsilon_{23}; \\ \bar{\varepsilon}_{12}^z &= \varepsilon_{12} + z\kappa_{12}; & \bar{\varepsilon}_3^z &= 0,\end{aligned}$$

где после подстановки (6) в (7) выделены:

– деформации срединной поверхности:

$$\begin{aligned}\varepsilon_1 &= \frac{\partial u}{\partial s} + \frac{1}{R_1}w + \frac{1}{2}\left(\frac{\partial w}{\partial s}\right)^2; \\ \varepsilon_2 &= \frac{1}{r}\frac{\partial v}{\partial \varphi} + \frac{1}{B}\frac{dB}{ds}u + \frac{1}{R_2}w + \frac{1}{2}\left(\frac{1}{r}\frac{\partial w}{\partial \varphi}\right)^2; \\ \varepsilon_{12} &= \frac{1}{r}\frac{\partial u}{\partial \varphi} + \frac{\partial v}{\partial s} - \frac{1}{r}\frac{dr}{ds}v + \frac{1}{r}\frac{\partial w}{\partial \varphi}\frac{\partial w}{\partial s};\end{aligned}\quad (8)$$

– деформации поперечного сдвига:

$$\begin{aligned}\varepsilon_{13} &= \gamma_1 + \frac{\partial w}{\partial s} - \frac{1}{R_1}u; \\ \varepsilon_{23} &= \gamma_2 + \frac{1}{r}\frac{\partial w}{\partial \varphi} - \frac{1}{R_2}v;\end{aligned}\quad (9)$$

– дополнительные кривизны срединной поверхности:

$$\begin{aligned}\kappa_{11} &= \frac{\partial \gamma_1}{\partial s}, & \kappa_{22} &= \frac{1}{r}\frac{\partial \gamma_2}{\partial \varphi} + \frac{1}{r}\frac{dr}{ds}\gamma_1; \\ \kappa_{12} &= \frac{1}{r}\frac{\partial \gamma_1}{\partial \varphi} + \frac{\partial \gamma_2}{\partial s} - \frac{1}{r}\frac{dr}{ds}\gamma_2.\end{aligned}\quad (10)$$

Уравнения связи между напряжениями и деформациями. Уравнения обобщенного закона Гука для ортотропных оболочек имеют вид:

$$\begin{aligned}\bar{\varepsilon}_1^z &= \frac{1}{E_1}\sigma_1 - \frac{\mu_{12}}{E_2}\sigma_2; \\ \bar{\varepsilon}_2^z &= \frac{1}{E_2}\sigma_2 - \frac{\mu_{21}}{E_1}\sigma_1; \\ \bar{\varepsilon}_{12}^z &= \frac{1}{G_{12}}\sigma_{12}; \\ \bar{\varepsilon}_{13}^z &= \frac{1}{G_{13}}\sigma_{13}; \\ \bar{\varepsilon}_{23}^z &= \frac{1}{G_{23}}\sigma_{23},\end{aligned}\quad (11)$$

где  $E_1, E_2$  – модули упругости в меридиональном и окружном направлениях;  $G_{12}$  – модуль сдвига в срединной поверхности оболочки;  $G_{13}, G_{23}$  – модули поперечного сдвига,  $\mu_{ij}$  – коэффициенты Пуассона.

Эти константы называют также техническими характеристиками упругости ортотропного тела.

Если эти уравнения решить относительно напряжений, то получим:

$$\begin{aligned}\sigma_1 &= B_1\varepsilon_1 + B_{12}\varepsilon_2 + z(B_1\kappa_{11} + B_{12}\kappa_{22}); \\ \sigma_2 &= B_{12}\varepsilon_1 + B_2\varepsilon_2 + z(B_{12}\kappa_{11} + B_2\kappa_{22}); \\ \sigma_{12} &= G_{12}\varepsilon_{12} + zG_{12}\kappa_{12}; \\ \sigma_{13} &= G_{13}\varepsilon_{13}; \quad \sigma_{23} = G_{23}\varepsilon_{23};\end{aligned}\quad (12)$$

$$B_1 = \frac{E_1}{1 - \mu_1\mu_2}; \quad B_2 = \frac{E_2}{1 - \mu_1\mu_2}; \quad B_{12} = \frac{E_1\mu_2}{1 - \mu_1\mu_2}.$$

Здесь следует отметить, что все представленные соотношения соответствуют системе координат с осью  $z$ , направленной по внешней нормали, как это показано на рис. 3. Переменная толщина стенки  $h(s)$  в эти соотношения не входит. Она появится далее при переходе от напряжений к внутренним силам и моментам, которые возникают в меридиональных и окружных сечениях оболочки.

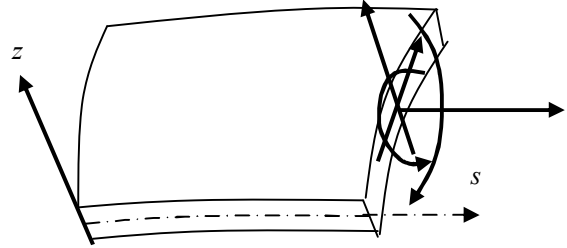


Рис. 3. Положение системы координат

Внутренние силы и моменты, показанные на рис. 3, статически эквивалентны напряжениям. Они связаны с напряжениями следующими интегральными соотношениями:

$$\begin{aligned}T_i(s, \varphi) &= \int_{-h/2}^{h/2} \sigma_i(s, \varphi, z) dz; \\ S(s, \varphi) &= \int_{-h/2}^{h/2} \sigma_{i2}(s, \varphi, z) dz, \quad i = 1, 2;\end{aligned}$$

$$\begin{aligned}
Q_i(s, \varphi) &= \int_{-h/2}^{h/2} \sigma_{i3}(s, \varphi, z) dz; \\
M_i(s, \varphi) &= \int_{-h/2}^{h/2} z \sigma_i(s, \varphi, z) dz; \\
H(s, \varphi) &= \int_{-h/2}^{h/2} z \sigma_{i2}(s, \varphi, z) dz, \quad i = 1, 2.
\end{aligned} \quad (13)$$

Уравнения (13) при использовании соотношений (8) – (12) позволяют установить следующую связь между внутренними силами и моментами и перемещениями:

$$\begin{aligned}
T_1 &= B_1 h \left( \frac{\partial u}{\partial s} + \frac{1}{R_1} w + \frac{1}{2} \left( \frac{\partial w}{\partial s} \right)^2 \right) + \\
&+ B_{12} h \left( \frac{1}{r} \frac{\partial v}{\partial \varphi} + \frac{1}{r} \frac{dr}{ds} u + \frac{1}{R_2} w + \frac{1}{2} \left( \frac{1}{r} \frac{\partial w}{\partial \varphi} \right)^2 \right); \\
T_2 &= B_{12} h \left( \frac{\partial u}{\partial s} + \frac{1}{R_1} w + \frac{1}{2} \left( \frac{\partial w}{\partial s} \right)^2 \right) + \\
&+ B_2 h \left( \frac{1}{r} \frac{\partial v}{\partial \varphi} + \frac{1}{r} \frac{dr}{ds} u + \frac{1}{R_2} w + \frac{1}{2} \left( \frac{1}{r} \frac{\partial w}{\partial \varphi} \right)^2 \right);
\end{aligned} \quad (14)$$

$$\begin{aligned}
S &= G_{12} h \left( \frac{1}{r} \frac{\partial u}{\partial \varphi} + \frac{\partial v}{\partial s} - \frac{1}{r} \frac{dr}{ds} v + \frac{1}{r} \frac{\partial w}{\partial \varphi} \frac{\partial w}{\partial s} \right); \\
Q_1 &= G_{13} h \left( \gamma_1 + \frac{\partial w}{\partial s} - \frac{1}{R_1} u \right); \\
Q_2 &= G_{23} h \left( \gamma_2 + \frac{1}{r} \frac{\partial w}{\partial \varphi} - \frac{1}{R_2} v \right);
\end{aligned} \quad (15)$$

$$\begin{aligned}
M_1 &= \frac{h^3}{12} B_1 \frac{\partial \gamma_1}{\partial s} + B_{12} \frac{h^3}{12} \left( \frac{1}{r} \frac{\partial \gamma_2}{\partial \varphi} + \frac{1}{r} \frac{dr}{ds} \gamma_1 \right); \\
M_2 &= \frac{h^3}{12} B_{12} \frac{\partial \gamma_1}{\partial s} + B_2 \frac{h^3}{12} \left( \frac{1}{r} \frac{\partial \gamma_2}{\partial \varphi} + \frac{1}{r} \frac{dr}{ds} \gamma_1 \right); \\
H &= \frac{h^3}{12} G_{12} \left( \frac{1}{r} \frac{\partial \gamma_1}{\partial \varphi} + \frac{\partial \gamma_2}{\partial s} - \frac{1}{r} \frac{dr}{ds} \gamma_2 \right).
\end{aligned} \quad (16)$$

Таким образом, получены соотношения теории ортотропных оболочек (14) – (16), устанавливающие связь между силами и моментами и пятью функциями перемещений  $u$ ,  $v$ ,  $w$ ,  $\gamma_1$ ,  $\gamma_2$ .

Уравнения равновесия внутренних сил и моментов. Уравнения равновесия сил и моментов не зависят от характеристик упругости оболочки. К ним относятся:

– три уравнения равновесия проекций всех сил на касательные к координатным линиям поверхности и на нормаль к поверхности:

$$\begin{aligned}
\frac{dT_1}{ds} + \frac{1}{r} \frac{dr}{ds} T_1 + \frac{1}{r} \frac{dS}{d\varphi} - \frac{1}{r} \frac{dr}{ds} T_2 + \\
+ \frac{1}{R_1} Q_1 + q_1 = 0; \\
\frac{dT_2}{ds} + \frac{1}{r} \frac{dr}{ds} T_2 + 2 \frac{1}{r} \frac{dr}{ds} S + \\
+ \frac{1}{R_2} Q_2 + q_2 = 0;
\end{aligned}$$

$$\begin{aligned}
\frac{dQ_1}{ds} + \frac{1}{r} \frac{dr}{ds} Q_1 + \frac{1}{r} \frac{dQ_2}{d\varphi} + T_1 \frac{d\gamma_1}{ds} + \\
+ T_2 \left( \frac{1}{r} \frac{d\gamma_2}{d\varphi} + \frac{1}{r} \frac{dr}{ds} \gamma_1 \right) + \\
+ S \left( \frac{1}{r} \frac{d\gamma_1}{d\varphi} + \frac{d\gamma_2}{ds} - \frac{1}{r} \frac{dr}{ds} \gamma_2 \right) - \\
- \frac{T_1}{R_1} - \frac{T_2}{R_2} + q_n = 0;
\end{aligned} \quad (17)$$

– два уравнения равновесия изгибающих моментов:

$$\begin{aligned}
\frac{dM_1}{ds} + \frac{1}{r} \frac{dr}{ds} M_1 + \frac{1}{r} \frac{dH}{d\varphi} - \\
- \frac{1}{r} \frac{dr}{ds} M_2 - Q_1 = 0;
\end{aligned} \quad (18)$$

$$\frac{dH}{ds} + \frac{1}{r} \frac{dM_2}{d\varphi} + 2 \frac{1}{r} \frac{dr}{ds} H - Q_2 = 0.$$

## 2.2. Уравнения устойчивости ортотропных оболочек вращения с переменной толщиной стенки

Следует отметить, что основные уравнения теории оболочек (14) – (18) здесь представлены с учетом нелинейности выражений для деформаций и уравнений равновесия поперечных сил [8, 9].

Согласно статическому методу Эйлера исследование устойчивости сводится к определению параметров нагрузки, при которых появляются другие состояния равновесия оболочки, отличные от исходного.

Напряжения и деформации исходного состояния можно определить и на основе линейных уравнений

(14) – (18), которые получаются при отбрасывании в них нелинейных членов.

Но для вывода уравнений, позволяющих определить существование других форм равновесия, необходимы нелинейные уравнения, аналогичные линейным (14) – (18). Для этого представим все функции перемещений, деформаций, напряжений, сил и моментов смежного состояния равновесия в виде суммы

$$F^* = F^0 + \delta \cdot F, \quad (19)$$

где  $F^0$  – функции в исходном состоянии равновесия, а все функции  $F$  с коэффициентом  $\delta$  есть приращение этих функций при переходе в смежное состояние равновесия.

При этом параметр  $\delta$  по определению Эйлера неустойчивого состояния является бесконечно малой величиной. Поэтому, подставляя выражения для искомого функций в виде разложений (19) в уравнения (14) – (18) и приравнявая нулю коэффициент при  $\delta$ , получим две системы уравнений, одна из которых описывает НДС исходного состояния, а вторая описывает НДС смежного состояния.

*Уравнения устойчивости.* После подстановки выражений (19) в нелинейные уравнения оболочки и приравнивания нулю коэффициент  $s$  при малом параметре  $\delta$  получаем систему дифференциальных уравнений, которую мы преобразовали к виду одного дифференциального уравнения относительно вектора перемещений и меридионального изгибающего момента

$$Y''(x) + B(x)Y'(x) + C(x)Y(x) = 0, \quad (20)$$

где  $B, C$  – квадратные матрицы четвертого порядка.

Наиболее эффективным методом поиска ненулевых решений однородных краевых задач для систем дифференциальных уравнений (20) является метод матричной прогонки, впервые опубликованный в работах [2 – 5] применительно к решению задач устойчивости упругих и вязко-упругих оболочек вращения.

### 2.3. Алгоритм решения задач устойчивости конечно-разностным методом матричной прогонки

Общая схема разработки алгоритмов решения краевых задач конечно-разностным методом матричной прогонки состоит из трех этапов:

- преобразование уравнений рассматриваемой краевой задачи к системе обыкновенных дифференциальных уравнений второго порядка; в данном случае получена система уравнений (20), представленная в векторно-матричной форме;

- аппроксимация полученной системы уравнений и граничных условий разностной системой трехточечных векторных уравнений:

$$-B_1 Y_1 + C_1 Y_2 = d_1;$$

$$A_\kappa Y_{\kappa-1} - B_\kappa Y_\kappa + C_\kappa Y_{\kappa+1} = d_\kappa, \quad \kappa = \overline{2, N}; \quad (21)$$

$$A_{N+1} Y_{N-1} - B_{N+1} Y_N + C_{N+1} Y_{N+1} = d_{N+1};$$

- решение полученной системы разностных уравнений путем предварительного преобразования внутренних уравнений к двухчленному виду (прямая прогонка), вычисления вектора на второй границе и вычисления всех остальных в цикле обратной прогонки.

Особенности решения задач устойчивости пластин и оболочек обусловлены тем, что системы исходных дифференциальных уравнений и граничных условий, а также конечно-разностных уравнений (6) являются однородными (векторы всех правых частей  $d_k = 0, k = 1, 2, \dots, N + 1$ ). Поэтому сначала требуется определить величину критических параметров внешней нагрузки, при которых система однородных уравнений (21) имеет ненулевые решения и возможна смена исходной формы равновесия, а затем построить эти ненулевые решения, соответствующие смежным формам равновесия.

В системе разностных уравнений (21)  $Y_k = Y(x_k); x_k = (k-1)\Delta x; Y(x)$  – вектор искомого функций;  $x_k$  – дискретные значения независимой переменной  $x$  в



узловых точках с постоянным шагом  $\Delta x$  между ними;  $x_1, x_N$  – координаты узловых точек на границах;  $A_k, B_k, C_k$  – матричные коэффициенты.

Первое и последнее в системе уравнений (21) – это граничные условия, первое из которых преобразовано к двучленному виду, а второе здесь не преобразовано и записано с использованием законтурной точки с координатой  $x_{N+1}$ .

*Прямая прогонка и уравнение для определения критической нагрузки.* В результате преобразования первого граничного условия к двучленному виду можно также преобразовать все внутренние уравнения и вместе с первым граничным условием при  $d_k = 0$  представить их в виде

$$\begin{aligned} Y_{k-1} &= P_{k-1} Y_k, \quad k = \overline{2, N+1}; \\ P_1 &= B_1^{-1} C_1. \end{aligned} \quad (22)$$

Для вывода расчетных формул цикла вычисления матриц прогоночных коэффициентов  $P_k$  подставим во внутреннее уравнение системы (21) соотношение (22). В результате получаем уравнение

$$\begin{aligned} A_k P_{k-1} Y_k - B_k Y_k + C_k Y_{k+1} &= 0, \\ \text{т.е. } Y_k &= (B_k - A_k P_{k-1})^{-1} C_k Y_{k+1}. \end{aligned} \quad (23)$$

Сравнивая (22) и (23) видим, что прогоночные коэффициенты вычисляются последовательно по рекуррентной формуле

$$P_k = (B_k - A_k P_{k-1})^{-1} C_k, \quad k = \overline{2, N}.$$

Вычисление этих коэффициентов выполняется в цикле прямой матричной прогонки, после завершения которого второе граничное условие можно преобразовать к уравнению относительно одного вектора искомых функций

$$(A_{N+1} P_{N-1} P_N - B_{N+1} P_N + C_{N+1}) Y_{N+1} = 0. \quad (24)$$

Таким образом, при решении задач устойчивости система однородных уравнений (21) при  $d_k = 0$  преобразована к системе уравнений (22), (24), которая имеет ненулевые решения, если определитель  $\Delta p$  уравнений (24) относительно компонентов вектора  $Y_{N+1}$  равен нулю:

$$\Delta_p = |A_{N+1} P_{N-1} P_N - B_{N+1} P_N + C_{N+1}| = 0.$$

Корнем этого уравнения является параметр внешней нагрузки, при котором исходная форма равновесия оболочки (пластины) становится неустойчивой. Простейший способ решения уравнения (24) сводится к многократному вычислению определителя  $\Delta p$  при последовательном изменении параметра внешней нагрузки до обнаружения смены знака определителя, что называется захватом в вилку искомого корня, и последующему уточнению корня путем повторного вычисления определителя в пределах установленной вилки с меньшим шагом по параметру нагрузки.

Особенности в таком непосредственном решении задачи обусловлены тем, что определитель  $\Delta p$  преобразованной системы уравнений (22), (24) кроме нулей определителя исходных уравнений (21) имеет полюсы. При этом трудно не только отличить смену знака определителя  $\Delta p$  в окрестности полюса от смены знака в окрестности нуля, но и вообще обнаружить смену знака, если полюсы и нули находятся достаточно близко.

Как показано в работах [5, 6], при разработке вычислительных программ смену знака в окрестности полюса можно устранить, если учесть связь между определителем  $\Delta p$  и определителем  $\Delta$  исходной системы уравнений. В результате уравнение (24) заменяется решением следующего уравнения:

$$\begin{aligned} &|C_{N+1} - B_{N+1} P_N + A_{N+1} P_{N-1} P_N| \times \\ &\times \text{sign} \frac{|P_2| \cdots |P_N|}{|B_1| \cdots |C_2| \cdots |C_N|} = 0, \end{aligned} \quad (25)$$

которое записано с учетом выражения для матрицы  $P_1$ .

Решение уравнения (25) связано с многократным вычислением его левой части при последовательном изменении параметра внешней нагрузки. При использовании современных компьютеров все эти операции выполняются с высокой точностью и очень быстро.

*Обратная прогонка.* Решив уравнение (25), можно определить и форму равновесия оболочки при

потере устойчивости. Для этого найденное значение критического параметра нагрузки нужно подставить в векторное уравнение (24) и вычислить ненулевой вектор-столбец  $Y_{N+1}$ , затем по формулам (22) в обратной последовательности вычисляем векторы  $Y_k$  ( $k = N, N-1, \dots, 1$ ) во всех узловых точках.

### Заключение

Построенное таким образом решение краевой задачи конечно-разностным методом матричной прогонки получается ненулевым при любом уровне внешней нагрузки, но граничные условия на второй границе выполняются только при  $\Delta = 0$ . Например, в случае классического варианта граничных условий  $Y_N = 0$ , когда матрицы  $A_{N+1} = 0$ ,  $C_{N+1} = 0$ ,  $B_{N+1} = -I$ , где  $I$  – единичная матрица четвертого порядка, получим

$$Y_N^T = (\Delta_p, 0, 0, 0). \quad (26)$$

Корни уравнения (26) всегда числа иррациональные и абсолютным нулем  $\Delta_p$  не бывает. Этим обеспечена возможность выполнения всех операций над матрицами даже в окрестности критической точки, где  $\Delta_p = 0$ .

### Литература

1. Липовцев Ю.В., Русин М.Ю., Хамицаев А.С. Расчет и проектирование составных оболочечных конструкций: Учебное пособие. – Обнинск: ИАТЭ, 2003. – 76 с.
2. Юдин В.М. Комплекс программ расчета параметров аэродинамического теплообмена на по-

верхности конструкций летательных аппаратов. – М.: НПП «Вега-94», НТО, 2003. – 39 с.

3. Кравченко В.Ф., Розенсон Е.Б., Юдин В.М. Методы расчета температурных полей в элементах конструкций самолетов: Руководство для конструкторов. – 1980. – Т. 3, кн.3. – Вып. 5.

4. Липовцев Ю.В. К устойчивости упругих и вязкоупругих оболочек при наличии локальных напряжений // Механика твердого тела. – М.: Наука. – 1968. – № 5. – С. 174 – 180.

5. Липовцев Ю.В. Особенности применения метода прогонки к решению задач устойчивости оболочек и пластин // Известия АН СССР. – М.: Наука, МТТ. – 1970. – № 3. – С. 43 – 49.

6. Липовцев Ю.В. Разностный метод решения задач устойчивости оболочек вращения // Теория пластин и оболочек. – М.: Наука. – 1971. – С. 166 – 172.

7. Липовцев Ю.В. Постановка и алгоритмы решения нестационарных осесимметричных краевых задач термоупругости для оболочек вращения // ПММ. – М.: Наука. – 2003. – Том 67, вып. 6. – С. 954 – 964.

8. Муштари Х.М., Галимов К.З. Нелинейная теория гибких оболочек. – Казань: Таткнигоиздат, 1957. – 432 с.

9. Вольмир А.С. Устойчивость деформируемых систем. – М.: Наука, 1967. – 984 с.

*Поступила в редакцию 15.12.2004*

**Рецензент:** д-р техн. наук, проф. В.Е. Гайдачук, Национальный аэрокосмический университет им. Н.Е. Жуковского «ХАИ», Харьков.